

京都大学防災研究所 正員 村本嘉雄

1 まえがき

溜池、調整池などの小規模な貯水池の決壊に伴う洪水流出を予測することを目的として、これまで被災溜池の調査と貯水槽を用いた流出実験を行い、決壊口の形状特性と部分決壊および全面決壊における貯水池の水理について考察を行った。本文では、決壊時における貯水池水理の基本的特性を把握するため特性曲線法の直線近似による非定常流解析を行ひ、開口断面条件と貯水池の水位および流出流量の時間的変化との関係について考察するとともに実験結果と比較検討する。

2 貯水池決壊時の水理に関する近似解析

2.1 一般開口断面の場合：一様幅の長方形断面の貯水池を考え、底面配はなく、摩擦の影響を無視できるものとする。このようす条件下における一次元の非定常流の基礎式は、図-1の座標系および記号を用ひると、特性曲線表示法つきのようにまとめられる。

$$\omega^{\pm} : \frac{dx}{dt} = -u \pm c \quad (1) \quad -u \pm xc = \text{const} \quad (2)$$

ただし、 $c = \sqrt{gh}$ である。初期条件および境界条件を

$$t=0 : h = h_0, u = 0 \quad (3)$$

$$x=0 : 0 \leq t \leq t_1, h = h(t) \quad (4)$$

$$t \geq t_1, Q = a h^n = \mu_n B \bar{g} h^{\frac{n}{2}} \text{ あるいは } u = \mu_n c \quad (5)$$

$$x=L : u = 0 \quad (6)$$

とする。ここに、 t_1 ：開口時間、 B と L ：貯水池の幅と長さ、 Q ：流出流量、 a, n ：定数である。いま、 $x=0$ 断面での流れを常流($0 < \mu_n < 1$)と考え、決壊時に発生する夏波の波頭および波底の特性曲線を x, t の全領域にわたって直線と仮定すると、(2)～(6)式からつきの関係が導かれる。

$$0 \leq t \leq t_1 : u(t) + xc(t) = xc_0 \quad (7)$$

$$t \geq t_1 : \mu_n c_i + xc_i = xc_{i-1} \quad (i = 2m-1; m = 1, 2, \dots) \quad (8)$$

$$2c_i = 2c_{i-1} - \mu_n c_{i-1} \text{ あるいは } c_i = Zc_{i-1} - C_{i-2} \quad (i = 2m) \quad (9)$$

これらの式から $u(t)$ および図-1の各位相の C_i をかから h_i が求まる。また、波頭および波底の上端端($i = 2m$)、下端端($i = 2m-1$)に到達する時刻 \hat{t}_i および t_{i-1} は(1)式を考慮してつきのように求まる。

$$\hat{t}_i = L / (C_i + \mu_n c_i), \quad T_i = L / C_{i-1} \quad (i = 2m-1) \quad (10)$$

$$\hat{T}_i = L / C_i, \quad T_i = L / (C_{i-1} - \mu_n c_{i-1}) \quad (i = 2m) \quad (11)$$

ただし、 $\hat{t}_i = \hat{t}_{i-1} - \hat{T}_{i-1}$ 、 $T_i = t_i - t_{i-1}$ 、 $t_0 = 0$ 、 $\hat{t}_0 = L / C_0$ 、 $t_1 = t_1$ である。

以上より、貯水池の水深と流量の時間的変化は計算できる。しかし、(5)式より $\mu_n = (a / B \bar{g}^{n-1}) C^{n-3}$ である、(8)式は一般に C_i を圍む $2(n-1)$ 次の代数式を用いて逐次計算する必要がある¹⁾、つまり $n = \frac{3}{2}$ の場合について検討する。また、 $n \neq \frac{3}{2}$ の場合も h_i に対応して $\mu_n = (a / B \bar{g}) h_i^{n-\frac{3}{2}}$ を変化させることによつて、 $n = \frac{3}{2}$ の結果から水理量の変化を推定できる。

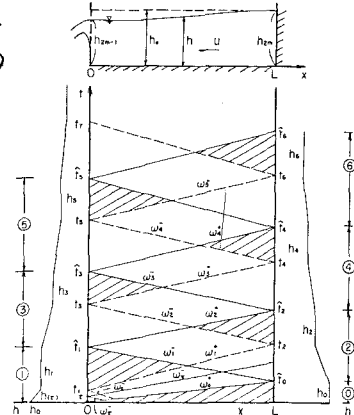
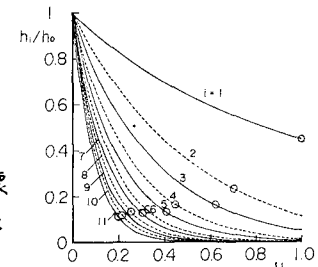
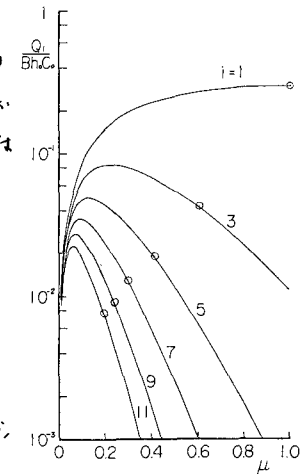


図-1 特性曲線図と記号説明

図-2 h_i の μ による変化図-3 Q_i の μ による変化

Z.Z 長方形開口断面 ($n=3/2$) の場合: $\mu_n = \mu (= a/B\sqrt{g})$ とし、(8)~(11)式から h_i, Q_i, \hat{t}_i, t_i を求めると、

$$i=zm-1 : \frac{h_i}{h_0} = \frac{4}{4-\mu^2} p^i, \quad \frac{Q_i}{Bh_0C_0} = \mu \left(\frac{4}{4-\mu^2} \right)^{\frac{3}{2}} p^{\frac{3}{2}i}, \quad \frac{\hat{t}_i}{t_{c_0}} = \frac{\sqrt{4-\mu^2}}{2(1+\mu)} p^{-\frac{1}{2}(i-1)}, \quad \frac{T_i}{t_{c_0}} = p^{-\frac{1}{2}(i-1)}$$

$$(x=0) \quad \frac{\hat{t}_i}{t_{c_0}} = \frac{4+3\mu}{2(1+\mu)} \sum_{k=1}^{\frac{1}{2}(i+1)} p^{-2(k-1)}, \quad \frac{t_i - t_1}{t_{c_0}} = \frac{4-3\mu}{2(1-\mu)} \sum_{k=1}^{\frac{1}{2}(i-1)} p^{-2k}$$

$$i=zm : \frac{h_i}{h_0} = p^i, \quad \frac{\hat{t}_i}{t_{c_0}} = p^{-\frac{1}{2}i}, \quad \frac{T_i}{t_{c_0}} = \frac{z-\mu}{2(1-\mu)} p^{-\frac{1}{2}i}$$

$$(x=L) \quad \frac{\hat{t}_i}{t_{c_0}} = 1 + \frac{4+\mu}{2(1+\mu)} \sum_{k=1}^{\frac{1}{2}i} p^{-k}, \quad \frac{t_i - t_1}{t_{c_0}} = \frac{z+\mu}{2(1-\mu)} + \frac{4-\mu}{2(1-\mu)} \sum_{k=1}^{\frac{1}{2}(i-2)} p^{-k}$$

とする。 $i=12, \mu = (z-\mu)/(z+\mu)$ のとき、 t_i 以上の方程式は直線波形上、下流端を往復する間に h_i は p^2 , Q_i は p^3 に比例して減少し、往復時間は $1/p$ に比例して増大するといふ。また、 $t_1=0$ として、 h_i, Q_i, \hat{t}_i, t_i の μ による変化を計算すると図-Z~図-4 のようになる。各図の丸印は \hat{t}_i 及び t_i による限界、すなはち段波の成長が $2L$ 以上に達する限界を示しており、 μ の增加に伴い段波が急速に扁平化するのである。なお、各図に丸印以下の h_i, Q_i は適用範囲図外である。流出流量に注目すると、 Q_i は $i \geq 3$ で

$$\mu = (3i - \sqrt{9i^2 - 8})/2 \quad (i=2m-1) \quad (12)$$

のときに最大となり、そのとき $h_i/h_0 = 0.51$ ($i \leq 11$) である。また、上記 Q_i (l/sec) の Q_i 及び $\hat{t}_i(t_i)$ の式を μ に関する級数展開し、 $\mu = 0.1, i \leq 10$ の条件で

両者のうちを消去して流出流量波形の近似式を求めるとつきのように得る。

$$Q/Bh_0C_0 = \mu (4 - 3\sqrt{1+\mu t_*}), \quad t_* = C_0 t/L \quad (13)$$

3. 実験結果との比較

長さ $2m$ 幅 $50cm$ のアクリル製の水槽を用い、下流端条件は(1)全断面開口、(2)斜面 $\gamma = 36^\circ$ の三角堰、(3)三角形開口断面の堤体模型の3種類である。貯水延長と初期水深とを各3段階変えて瞬間流出実験を行った。図-5 に示した流出流量と水深との関係から明らかなように、(2)と(3)の場合には常流条件が満足せない。なお、図中の $A = h^2 \cot 36^\circ$ である。

いま、(2)の場合を対象として、 $t_1=0, n=5/2, \mu_n = (0.306\sqrt{2}\cot 36^\circ/B)^{1/2} C^2 = 1.22 \times 10^{-5} C^2$ ($cm \cdot sec$ 単位) を(8)~(11)式に用い、2段階の h_0 に対する h_i 及び Q_i の時間変化を計算した結果と実験値との比較が図-6 に示されている。二次元水頭形とその開口部近傍の水深変化を除いて両者はほぼ一致しており、このようす条件下 ($\mu = 0.157 \sim 0.054$) では特性直線近似の可能性といふわかる。一方、 $\mu = (0.306\sqrt{2}\cot 36^\circ)h_0/B$ を用いた(13)式の関係の誤差を示してある。 $h_0 = 10.14 cm$ の場合は初期の Q_i の変化を近似しており、 $h_0 = 15.35 cm$ の場合はより μ の高次の近似をとる必要がある。

4 むすび: 今後さらに近似解法、適用限界について数値解析結果と比較することもしく、および流出係数について検討する必要がある。1) 村本・河田: 昭和51年9月台風17号による災害調査研究総合報告書、昭52.3

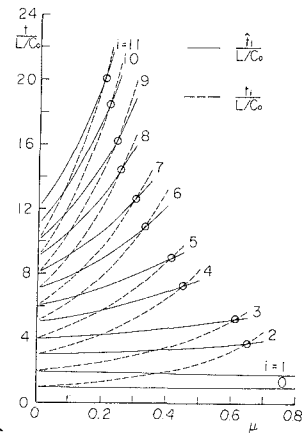


図-4 \hat{t}_i 及び t_i の μ による変化

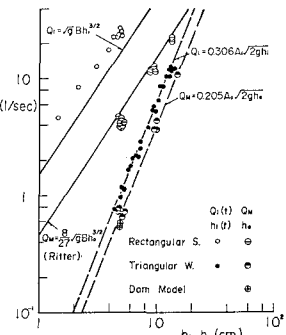


図-5 流出流量と水深との関係

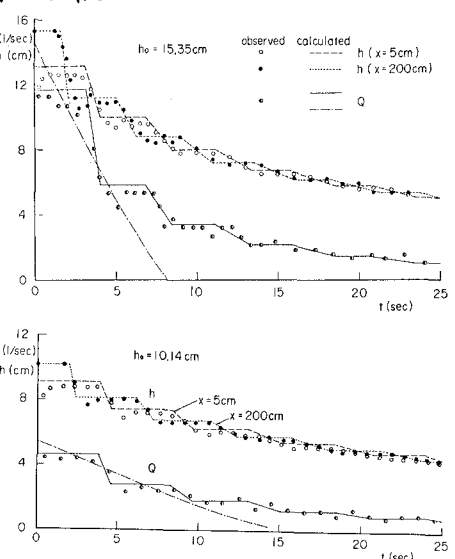


図-6 h 及び Q の計算値と実験値との比較